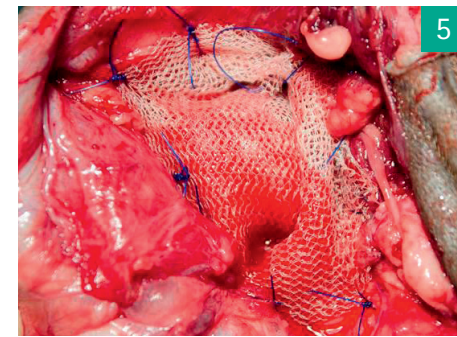
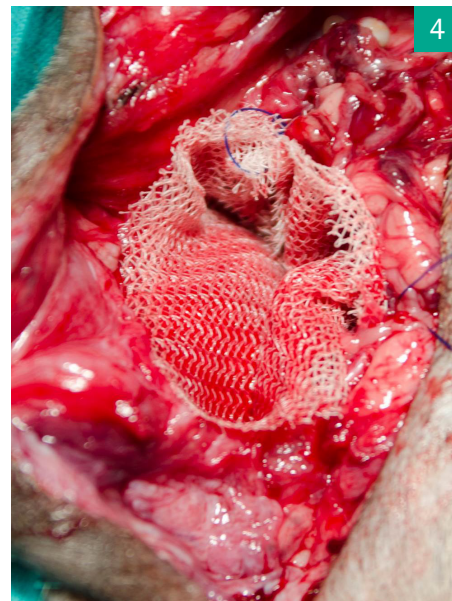
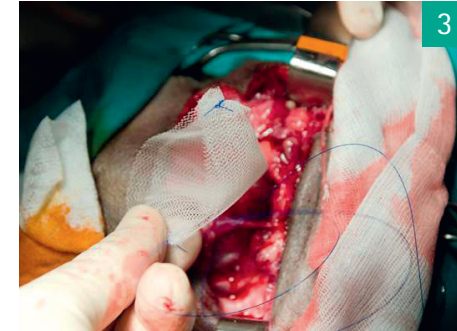


# CASO QUIRÚRGICO

## Implantación de Optilene® SILVER MESH LP en el tratamiento de una hernia perineal



1. Hernia perineal.

2. Tras realizar una incisión en la piel se exponen las estructuras herniadas.

3, 4 y 5. Fijación de la malla Optilene® SILVER MESH LP con sutura monofilamento no absorbible para la resolución de la hernia.

\* Imágenes cedidas por cortesía del Dr. José Rodríguez (Profesor Titular en el área de medicina y cirugía de la Universidad de Zaragoza).

### REFERENCIAS BIBLIOGRÁFICAS

- (1) Timmermans L, Eker HH, Steyerberg EW, Jairam A, de Jong D, Pierik EGJM, Lasas SS, van der Ham AC, Dawson I, Charbon J, Schumacher C, Izbicki JR, Neuhaus P, Knebel P, Fortelny R, Kleinrensink GJ, Jeekel J, Lange JF. Short-term results of a randomized controlled trial comparing primary suture with primary glued mesh augmentation to prevent incisional hernia. *Annals of Surgery*. 2015;261(2):276-81.
- (2) Paajanen H, Brinck T, Hermunen H, Airo I. Laparoscopic surgery for chronic groin pain in athletes is more effective than non-operative treatment: a randomized clinical trial with magnetic resonance imaging of 60 patients with sportsmen's hernia (athletic pubalgia). *Surgery*. 2011;150:99-106.
- (3) Nikkolo C, Vaasna T, Murruste M, Saepter H, Kirsimägi Ü, Lepner U. Randomized clinical study evaluating the impact of mesh pore size on chronic pain after Lichtenstein hernioplasty. *Journal of Surgical Research*. 2014;191(2):311-7.
- (4) Nikkolo C, Vaasna T, Murruste M, Saepter H, Suumann J, Tein A, Kirsimägi U, Lepner U. Singlecenter, single-blinded, randomized study of self-gripping versus sutured mesh in open inguinal hernia repair. *Journal of Surgical Research*. 2015;194(1):77-82.
- (5) Nikkolo C, Vaasna T, Murruste M, Saepter H, Kirsimägi Ü, Lepner U. Three-year results of a single-centre single-blinded randomised study evaluating the impact of mesh pore size on chronic pain after Lichtenstein hernioplasty. *Scandinavian Journal of Surgery*. 2016 [Epub ahead of print].
- (6) Mayer F, Niebuhr H, Lechner M, Dinnewitzer A, Köhler G, Hukauf M, Fortelny RH, Bittner R, Köckerling F. When is mesh fixation in TAPP-repair of primary inguinal hernia repair necessary? The register-based analysis of 11,230 cases. *Surgical Endoscopy*. 2016 [Epub ahead of print].
- (7) Zogbi L. The use of biomaterials to treat abdominal hernias. *Biomaterials Applications for nanomedicine*. 2011;16:359-83.
- (8) Lukaszewicz A, Drewa T. Synthetic implants in hernia surgery. *Adv Clin Exp Med*. 2014;23(1):135-42.
- (9) Lab.Nr. 03618 (GLP Report).
- (10) Hohenstein, test report no. 16.8.3.0046/Rev 1.
- (11) Nyenhuis J, Duan L. An evaluation of MRI safety and compatibility of a silver-impregnated antimicrobial wound dressing. *J Am Coll Radiol*. 2009;6:500-5.
- (12) García-Ureña MA, López-Monclús J, Hernando LA, Montes DM, Valle de Lersundi AR, Pavón CC, Ceinos CJ, Quindós PL. Randomized Controlled Trial of the Use of a Large-pore Polypropylene Mesh to Prevent Incisional Hernia in Colorectal Surgery. *Annals of Surgery*. 2015;261(5):876-81.



PREVIENE LA CONTAMINACIÓN MICROBIANA Y LA CREACIÓN DE BIOFILM EN LA SUPERFICIE DE LA MALLA

**GAMA Optilene® SILVER MESH**  
MALLAS DE POLIPROPILENO CON IONES DE PLATA

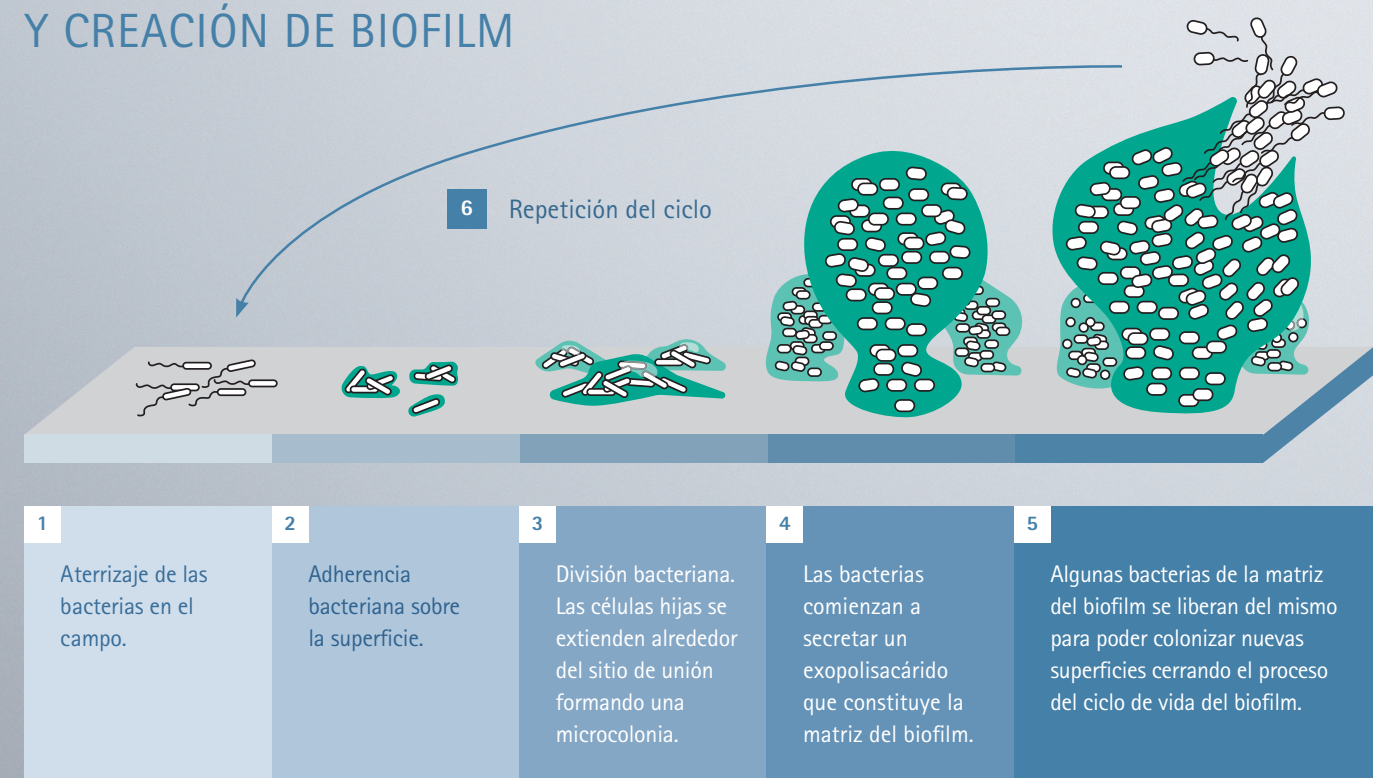
B. Braun VetCare, S.A. | Ctra. de Terrassa, 121 | 08191 Rubí (Barcelona)  
Tel. 93 565 61 65 | [atencioncliente.vetcare@bbraun.com](mailto:atencioncliente.vetcare@bbraun.com) | [www.bbraun-vetcare.es](http://www.bbraun-vetcare.es)  
B. Braun VetCare, S.A. - a B. Braun company



MVET0525CAB  
04/2021

# ACTIVIDAD ANTIMICROBIANA DE LA PLATA

## PROCESO DE COLONIZACIÓN MICROBIANA Y CREACIÓN DE BIOFILM



I. Lasa, J. L. del Pozo, J. R. Penadés, J. Leiva. Biofilms bacterianos e infección. Anales del Sistema Sanitario Navarra vol.28 no.2 Pamplona may/jago. 2005.

La incorporación de partículas (zeolitas) que contienen iones de **PLATA** a las mallas de polipropileno

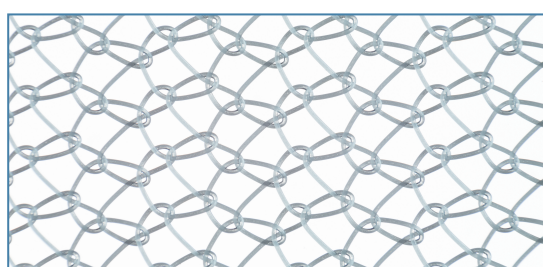
➤ Ayuda a **MINIMIZAR** el riesgo de **COLONIZACIÓN MICROBIANA** y **FORMACIÓN DE BIOFILMS** sobre la superficie de la malla<sup>(10)</sup>.

- Los iones de plata (Ag<sup>+</sup>) proporcionan una acción antimicrobiana de amplio espectro (Gram+, Gram- y anaerobios).
- La liberación del ion de plata es gradual y sostenida en el tiempo por lo que permite una mejor prevención de la infección.
- Su uso es seguro a largo plazo, no presenta toxicidad ni genera resistencia.

# Optilene® SILVER MESH LP

Características	
Propiedades destacadas	<ul style="list-style-type: none"> <li>Las propiedades antimicrobianas de Optilene® Silver Mesh ayudan a reducir el riesgo de colonización microbiana y creación de biofilm en la superficie de la malla</li> <li>Para procedimientos laparoscópicos o cirugía abierta<sup>(1-6)</sup></li> <li>Malla de bajo peso<sup>(7-8)</sup></li> <li>Se adapta longitudinal y latitudinalmente a los movimientos del paciente<sup>(9)</sup></li> <li>Segura en imagen por resonancia magnética (IRM)<sup>(11)</sup></li> </ul>
Material	Polipropileno (PP) con 125 ppm de Ag <sup>+</sup>
Resistencia	Long.: 55,5 N/cm; Transv.: 26,4 N/cm
Peso	36 g/m <sup>2</sup>
Tamaño de poro	1 mm

Imagen del producto	Dimensiones	Código	Uds./Caja	Forma
	Hole/Tails 4,5 x 10 cm	1265360UNI	1 ud.	
	Hole/Tails 6 x 14 cm	1265340UNI	1 ud.	
	5 x 10 cm	1265350UNI	1 ud.	
	7,5 x 15 cm	1265330UNI	1 ud.	
	10 x 15 cm	1265320UNI	1 ud.	
	15 x 15 cm	1265310UNI	1 ud.	



# Optilene® SILVER MESH ELASTIC

Características	
Propiedades destacadas	<ul style="list-style-type: none"> <li>Las propiedades antimicrobianas de Optilene® Silver Mesh ayudan a reducir el riesgo de colonización microbiana y creación de biofilm en la superficie de la malla</li> <li>Para procedimientos laparoscópicos o cirugía abierta<sup>(1-6)</sup></li> <li>El uso profiláctico de Optilene® Mesh Elastic reduce el índice de hernia incisional<sup>(12)</sup></li> <li>Se adapta longitudinal y latitudinalmente a los movimientos del paciente<sup>(9)</sup></li> <li>Segura en imagen por resonancia magnética (IRM)<sup>(11)</sup></li> </ul>
Material	Polipropileno (PP) con 125 ppm de Ag <sup>+</sup>
Resistencia	Long.: 61,5 N/cm; Transv.: 40,2 N/cm
Peso	48 g/m <sup>2</sup>
Tamaño de poro	2,8 x 3,2 mm

Imagen del producto	Dimensiones	Código	Uds./Caja	Forma
	7,5 x 15 cm	1265250UNI	1 ud.	
	10 x 15 cm	1265240UNI	1 ud.	
	20 x 30 cm	1265220UNI	1 ud.	
	30 x 30 cm	1265210UNI	1 ud.	
	15 x 15 cm	1265230UNI	1 ud.	

